

การเอื้อประโยชน์ในร่างกายของยาเม็ดรานิทิดีน
ที่มีจำหน่ายในประเทศไทย



นางสาว สุอวง ฐิติสัตยากร

วิทยานิพนธ์นี้เป็นส่วนหนึ่งของการศึกษาตามหลักสูตรเภสัชศาสตรมหาบัณฑิต
ภาควิชาเภสัชกรรม
บัณฑิตวิทยาลัย จุฬาลงกรณ์มหาวิทยาลัย

พ.ศ. 2532

ISBN 974-576-242-3

ลิขสิทธิ์ของบัณฑิตวิทยาลัย จุฬาลงกรณ์มหาวิทยาลัย

015330

ACKNOWLEDGEMENTS

I would like to express my sincere gratitude to my kind advisors, Assoc. Prof. Dr. Uthai Suvanakoot and Assist. Prof. Sarinee Krittiyanunt, for their supervision, guidance and encouragement.

My sincere appreciation is expressed to Dr. Darinee Thitisatthayakorn and her staff in Lertsin Hospital for their assistance in clinical work.

Particular thanks are given to Dr. Krisana Kraisintu, The Government Pharmaceutical Organization for her kindness allowance to use an evaporator, and I am thankful to Mrs. Sunan Rungsrikansong for her valuable advices in HPLC techniques.

Special thanks are also extend to Pond's Chemical, Ranbaxy Thailand and Siam Bhaesaj Co., Ltd. for supplying ranitidine products in this study.

I am greatly indebted to Food and Drug Administration, Siam Bhaesaj Co, Ltd., and Chulalongkorn University for granting partly financial support to conduct this research.

I also would like to thank all staff of Pharmacy Department, Faculty of Pharmaceutical Sciences, Chulalongkorn University, Ms. Patcharin Kittipibul, Ms. Tippawan Assamongkol and my friends for their helpful cooperation.

Finally, I am deeply grateful to my parents and my sisters for understanding, encouragement and support throughout my graduate study.





ส่วาง วิถีสัตยากร : การเอื้อประโยชน์ในร่างกายของยาเม็ดรานิทิดีนที่มีจำหน่ายในประเทศไทย (BIOAVAILABILITY OF RANITIDINE TABLETS COMMERCIALY AVAILABLE IN THAILAND) อ.ที่ปรึกษา : รศ.ดร.อุทัย สุวรรณภฏ, อ.ที่ปรึกษาร่วม ผศ.สาริณีย์ กฤตยานันต์

การศึกษาเพื่อประเมินผลยาเม็ดรานิทิดีนขนาด 150 มิลลิกรัมของบริษัทต่าง ๆ ที่มีจำหน่ายในประเทศไทย จำนวน 5 บริษัท ผลการศึกษาในหลอดทดลองพบว่า ยาเม็ดของทุกบริษัทมีเวลาการแตกกระจายตัวตามมาตรฐานที่กำหนดใน British Pharmacopoeia 1980 ยาเม็ดเหล่านี้มีการละลายแตกต่างกันในสารละลายที่เป็นกรด แต่ไม่แตกต่างกันในสารละลายที่เป็นด่างที่ระดับความเชื่อมั่น 95%

การศึกษาการเอื้อประโยชน์สัมบูรณ์และการเอื้อประโยชน์สัมพัทธ์ในร่างกายของยาเม็ดรานิทิดีน กระทำในอาสาสมัครชายไทย สุขภาพดี จำนวน 12 คน อาสาสมัครได้รับยาฉีดขนาด 50 มิลลิกรัม และรับประทานยาเม็ดขนาด 150 มิลลิกรัม 2 เม็ดครั้งเดียวโดยใช้แบบแผนการทดลองข้าม (Crossover design) วัดระดับยารานิทิดีนในพลาสมา โดยวิธี HPLC การวิเคราะห์ข้อมูลทางเภสัชจลนศาสตร์ใช้วิธี Noncompartmental analysis ผลการศึกษาไม่พบความแตกต่างอย่างมีนัยสำคัญของค่าพารามิเตอร์ที่เกี่ยวข้องในร่างกายระหว่างยาเม็ดทั้ง 5 บริษัท ยกเว้นค่าของพื้นที่ใต้เส้นโค้งระหว่างความเข้มข้นและเวลา ค่าเฉลี่ยของระดับยาสูงสุดในพลาสมาเท่ากับ 2.05 ± 0.42 และ 1.19 ± 0.17 ไมโครกรัม/มิลลิลิตรหลังการให้ยาฉีด และยาเม็ดตามลำดับ ค่าเฉลี่ยของเวลาที่ระดับยาถึงค่าสูงสุดอยู่ระหว่าง 0.5 - 3.0 ชั่วโมง ค่ากึ่งชีงของยารานิทิดีนวัดได้เท่ากับ 1.44 ± 0.24 ชั่วโมง การเอื้อประโยชน์สัมบูรณ์สำหรับยาเม็ดทั้ง 5 บริษัท มีค่าอยู่ระหว่าง 42.27 ± 12.44 ถึง $67.24 \pm 13.24\%$ และการเอื้อประโยชน์สัมพัทธ์ในร่างกายของยาเม็ดรานิทิดีนของบริษัท B, C, D และ E เมื่อเปรียบเทียบกับบริษัท A มีค่าเท่ากับ 97.36, 91.09, 94.33 และ 144.00% ตามลำดับ

การศึกษาความสัมพันธ์ เชิงเส้นระหว่างข้อมูลการศึกษาในหลอดทดลองและในร่างกาย พบว่า เฉพาะอัตราการละลายของยาในตัวกลางที่เป็นกรด กับเวลาที่ระดับยาถึงค่าสูงสุดมีความสัมพันธ์กันที่ระดับความเชื่อมั่น 95% ส่วนความสัมพันธ์ของค่าพารามิเตอร์อื่น ๆ นั้น ไม่มีความสัมพันธ์เชิงเส้นอย่างมีนัยสำคัญ

ผลการศึกษาี้ แสดงให้เห็นว่า ยาเม็ดรานิทิดีนของทั้ง 5 บริษัทที่มีจำหน่ายในประเทศไทย ให้ผลในร่างกายได้เท่าเทียมกัน

ภาควิชา เภสัชกรรม ลายมือชื่อนิสิต อุทัย สุวรรณภฏ
 สาขาวิชา เภสัชกรรมโรงพยาบาลและคลินิก ลายมือชื่ออาจารย์ที่ปรึกษา อุทัย สุวรรณภฏ
 ปีการศึกษา 2532



CONTENTS

	Page
THAI ABSTRACT	IV
ENGLISH ABSTRACT	V
ACKNOWLEDGEMENT	VI
CONTENTS	VII
LIST OF TABLES	VIII
LIST OF FIGURES	XIII
LIST OF ABBREVIATIONS	XVI
CHAPTER	
I INTRODUCTION	1
II REVIEW OF RANITIDINE	4
III MATERIALS AND METHODS	10
MATERIALS	10
METHODS	12
IN VITRO STUDIES	12
IN VIVO STUDIES	16
IV RESULTS AND DISCUSSION	24
IN VITRO STUDIES	24
IN VIVO STUDIES	37
IN VITRO-IN VIVO CORRELATIONS	77
V CONCLUSION	79
REFERENCES	82
APPENDICES	90
VITAE	113



LIST OF TABLES

Table	Page
1. Dosing Schedule	18
2. Characteristics of Five Commercial Brands of Ranitidine Tablets form In Vitro Studies	25
3. Dissolution Profiles of Five Commercial Brands of Ranitidine Tablets in Simulated Gastric Fluid pH 1.2	27
4. Dissolution Profiles of Five Commercial Brands of Ranitidine Tablets in Simulated Intertinal Fluid pH 7.5	29
5. Average Percent Drugs Dissolved in Simulated Gastric Fluid and Simulated Intestinal Fluid at 30 minutes	31
6. Analysis of Variance for Dissolution Rate Constants of Five Commercial Ranitidine Tablets in Simulated Gastric Fluid pH 1.2	33
7. Comparison of Dissolution Rate Constants of Locally Manufactured Products with Innovator's (Brand A) in Simulated Gastric Fluid Using t-test	34
8. Analysis of Variance for Dissolution Rate Constants of Five Commercial Ranitidine Tablets in Simulated Intestinal Fluid pH 7.5	35

Table	Page
9. Comparison of Dissolution Rate Constants of Locally Manufactured Products with Innovator's (Brand A) Using t-test	36
10. Plasma Ranitidine Concentration (mcg/ml) from 12 Subjects Following Intravenous Administration of 50 mg Ranitidine Injection	39
11. Plasma Ranitidine Concentrations (mcg/ml) from 12 Subjects Following Oral Administration of Two 150 mg Ranitidine Tablets of Brand A	42
12. Plasma Ranitidine Concentrations (mcg/ml) from 12 Subjects Following Oral Administration of Two 150 mg Ranitidine Tablets of Brand B	43
13. Plasma Ranitidine Concentrations (mcg/ml) from 12 Subjects Following Oral Administration of Two 150 mg Ranitidine Tablets of Brand C	44
14. Plasma Ranitidine Concentrations (mcg/ml) from 12 Subjects Following Oral Administration of Two 150 mg Ranitidine Tablets of Brand D	45

Table	Page
15. Plasma Ranitidine Concentrations (mcg/ml) from 12 Subjects Following Oral Administration of Two 150 mg Ranitidine Tablets of Brand E	46
16. Peak Plasma Concentration and Time to Peak Concentration Data Following Oral Administration of Two 150 mg Ranitidine Tablets of Five Commercial Brands	54
17. Analysis of Variance for Time to Peak Plasma Concentration (Second) of Five Commercial Ranitidine Tablets	56
18. Comparison of Time to Peak Plasma Concentration (Second) of 4 Different Brands (B, C, D and E) with the Innovator's (Brand A) Using t-test	57
19. Analysis of Variance for Peak Plasma Concentration (Second) of Five Commercial Ranitidine Tablets	59
20. Comparison of Peak Plasma Concentration (Second) of 4 Different Brands (B, C, D and E) with the Innovator's (Brand A) Using t-test	60
21. Individual Pharmacokinetic Parameters of Ranitidine from 12 Subjects Following 50 mg Intravenous and Two 150 mg Tablets Oral Administration	61

Table	Page
22. Analysis of Vairance for [AUC] of Five Commercial Ranitidine Tablets	66
23. Comparison of [AUC] of 4 Different Brands (B, C, D and E) with the Innovator's (Brand A) Using t-test	67
24. Analysis of Vairance for Absorption Rate Constants of Five Commercial Ranitidine Tablets	69
25. Comparison of Absorption Rate Constants of 4 Different Brands (B, C, D and E) with the Innovator's (Brand A) Using t-test	70
26. Analysis of Vairance for Absolute Bioavailability of Five Commercial Ranitidine Tablets	72
27. Comparison of Absolute Bioavailability of 4 Different Brands (B, C, D and E) with the Innovator's (Brand A) Using t-test	73
28. Estimated Pharmacokinetic Parameters (MEAN \pm SD) of Ranitidine from 12 Subjects Following Two 150 mg Oral Administration	75
29. Estimated Pharmacokinetic Parameters of Ranitidine from 12 Subjects Following 50 mg Intravenous Administration	76
30. In Vitro-In Vivo Bioavailability Correlations	78
31. Typical Standard Curve Data for Ranitidine Hydrochloride Concentrations in Carbondioxide Free Water. Estimated Using Linear Regression	92

Table	Page
32. Typical Standard Curve Data for Ranitidine Hydrochloride Concentrations in Simulated Gastric Fluid pH 1.2 Estimated Using Linear Regression	94
33. Typical Standard Curve Data for Ranitidine Hydrochloride Concentrations in Simulated Intestinal Fluid pH 7.5 Estimated Using Linear Regression	96
34. Typical Standard Curve Data for Ranitidine Hydrochloride Concentrations in Pooled Human Plasma Estimated Using Linear Regression	98
35. Subject Demographic Data	101

ศูนย์วิจัยทรัพยากร
จุฬาลงกรณ์มหาวิทยาลัย

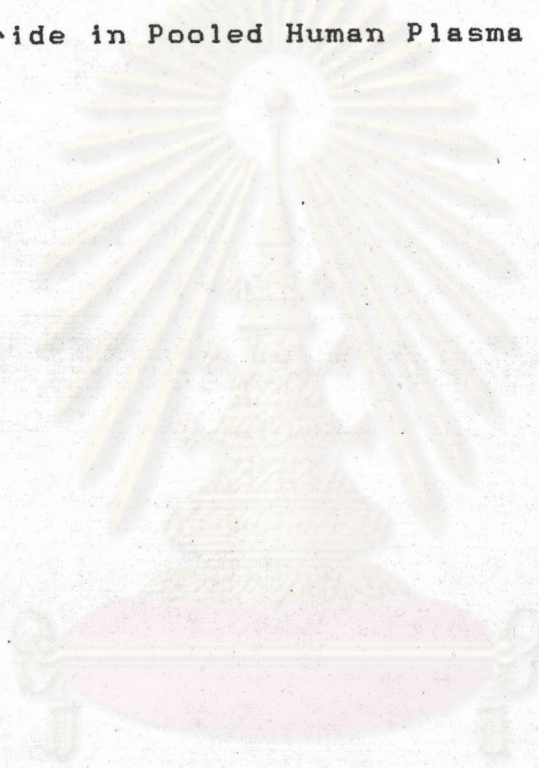


LIST OF FIGURES

Figure	Page
1. Structural Formula of Ranitidine and Cimetidine	2
2. Dissolution Profiles of Five Commercial Brands of Ranitidine Tablets in Simulated Gastric Fluid pH 1.2	28
3. Dissolution Profiles of Five Commercial Brands of Ranitidine Tablets in Simulated Intestinal Fluid pH 7.5	30
4. High Pressure Liquid Chromatogram of Ranitidine and Internal Standard	38
5. Plasma Ranitidine Concentration (MEAN \pm SD) from 12 Subjects Following Intravenous Administration of 50 mg Ranitidine Injection	40
6. Plasma Ranitidine Concentration-time Profiles of Subjects 1 and 2 Following Oral Administration of Two 150 mg Ranitidine Tablets	47
7. Plasma Ranitidine Concentration-time Profiles of Subjects 3 and 4 Following Oral Administration of Two 150 mg Ranitidine Tablets	48

Figure	Page
8. Plasma Ranitidine Concentration-time Profiles of Subjects 5 and 6 Following Oral Administration of Two 150 mg Ranitidine Tablets	49
9. Plasma Ranitidine Concentration-time Profiles of Subjects 7 and 8 Following Oral Administration of Two 150 mg Ranitidine Tablets	50
10. Plasma Ranitidine Concentration-time Profiles of Subjects 9 and 10 Following Oral Administration of Two 150 mg Ranitidine Tablets	51
11. Plasma Ranitidine Concentration-time Profiles of Subjects 11 and 12 Following Oral Administration of Two 150 mg Ranitidine Tablets	52
12. Comparison of Mean Plasma Ranitidine Concentration-time Curve from 12 Subjects Following Oral Administration of Two 150 mg of Five Commercial Brands	53
13. Typical Standard Curve for Ranitidine Hydrochloride in Carbondioxide Free Water	93
14. Typical Standard Curve for Ranitidine Hydrochloride in Simulated Gastric Fluid pH 1.2	95

Figure	Page
15. Typical Standard Curve for Ranitidine Hydrochloride in Simulated Intestinal Fluid pH 1.2	97
16. Typical Standard Curve for Ranitidine Hydrochloride in Pooled Human Plasma	99



ศูนย์วิทยทรัพยากร
จุฬาลงกรณ์มหาวิทยาลัย

LIST OF ABBREVIATIONS

$^{\circ}\text{C}$	=	degree Celcius
g	=	gram
hr	=	hour
kg	=	kilogram
L	=	litre
mcg	=	microgram
mg	=	milligram
min	=	minute
ml	=	millilitre
ng	=	nanogram
nm	=	nanometre
%	=	percent
$[\text{AUC}]_0^{\infty}$	=	area under the plasma concentration-time curve
$[\text{AUMC}]_0^{\infty}$	=	area under the (first) moment curve
MAT	=	mean absorption time
MRT	=	mean residence time
F	=	fraction of an extravascular dose of drug absorbed
F_{ab}	=	absolute bioavailability
F_{rel}	=	relative bioavailability
K_a	=	absorption rate constant
$t_{1/2}$	=	half-life
CO_2	=	carbondioxide
HPLC	=	High-Performance Liquid Chromatography